



## پیش‌بینی شاخص‌های بازداری روغن‌های انسانی به دست آمدۀ از دستگاه کروماتوگرافی گازی-اسپکترومتری جرمی با استفاده از ارتباط کمی ساختار-ویژگی

مهدی مهام<sup>\*</sup>، اعظم وفایی<sup>†</sup>

<sup>۱</sup>دانشگاه آزاد اسلامی، واحد علی آباد کتول، دانشکده علوم پایه، گروه شیمی، علی آباد کتول، ایران

<sup>۲</sup>دانشگاه آزاد اسلامی، واحد گچساران، دانشکده علوم پایه، گروه شیمی، گچساران، ایران

تاریخ ثبت اولیه: ۱۳۸۹/۹/۲۷، تاریخ دریافت نسخه اصلاح شده: ۱۳۸۹/۱۱/۱۵، تاریخ پذیرش قطعی: ۱۳۸۹/۱۱/۱۹

### چکیده

یک مدل ساده، قوی، توصیفی و قابل تفسیر بر اساس مطالعه ارتباط کمی ساختار-ویژگی با استفاده از روش رگرسیون خطی چند گانه مرحله‌ای برای پیش‌بینی شاخص‌های بازداری اجزای روغن‌های استحصال شده گیاهی توسعه داده شده است. بعد از محاسبه توصیف کننده های مولکولی، چهار توصیف کننده که بیشترین ارتباط را با شاخص بازداری دارند، انتخاب گردیدند. نتایج نشان می‌دهد که تکیک‌های خطی مانند رگرسیون خطی چند گانه که با یک روش انتخاب متغیر مناسب کوپل شده باشد، قادر است مدل‌های مناسبی برای پیش‌بینی شاخص‌های بازداری ترکیبات ارائه نماید. یک مدل ساده با خطای کم و ضریب همبستگی بالا به دست آمد که می‌تواند جهت پیش‌بینی شاخص‌های بازداری ترکیبات مشابه مورد استفاده قرار گیرد. ( $R^2_{\text{train}}=0.955$ ,  $R^2_{\text{test}}=0.935$ )

واژه‌های کلیدی: شاخص بازداری، روغن‌های انسانی، ارتباط کمی ساختار ویژگی

دهنده قند خون عمل کنند [۲]. همچنین این ترکیبات می‌توانند خواص آنتی اکسیدانی، ضد باکتری و ضد میکروبی داشته باشند [۳]. گیاه جانپروس تاریفرا (*Juniperus thurifera*) در قسمت‌های غربی دریای مدیترانه رشد کرده و زیستگاه این گیاه به طور طبیعی در کشورهای فرانسه، اسپانیا و مراکش قرار دارد. اخیراً

۱. مقدمه روغنهای انسانی گیاهان و ترکیبات استخراج شده از آنها در پزشکی و صنعت داروسازی بسیار مهم اند [۱]. ترکیبات استخراج شده از روغنهای انسانی گیاهان می‌توانند به عنوان ترکیبات ضد التهاب، ضد عفونی کننده، کاهش دهنده فشار خون و کاهش

\* عهدۀ دار مکاتبات: مهدی مهام

نشانی: علی آباد کتول - دانشگاه آزاد اسلامی - دانشکده علوم - گروه شیمی  
تلفن: ۹۱۱۱۴۷۸۹. پست الکترونیک: E-Mail: m\_maham447@yahoo.com

استحصلال شده از گیاه جانپروس تاریفرا است[۴]. ترکیبات به صورت تصادفی به دو گروه سری آموزش و سری پیش‌بینی تقسیم شدند(جدول-۱). سری آموزش شامل ۵۴ مولکول و سری پیش‌بینی شامل ۲۵ مولکول است. مقادیر شاخص بازداری (اندیس کواتس) به عنوان متغیر وابسته و توصیف کننده‌ها به عنوان متغیر مستقل انتخاب شدند. سری آموزش جهت ایجاد یک مدل مناسب و سری پیش‌بینی جهت ارزیابی مدل استفاده قرار گرفت.

### ۳-۲. محاسبه توصیف کننده‌های مولکولی

در اولین قدم باید مجموعه آزمایشی (اندیس کواتس ترکیبات) و ساختارهای متناظر جمع آوری شده و به صورت قابل پردازش برای کامپیوتر درآید. در مورد داده‌های آزمایشی که مقادیر عددیند مشکلی نداریم، مساله مهم بیان ساختارهای شیمیایی به شکل قابل پذیرش برای کامپیوتر است. برای محاسبه توصیف کننده‌های مولکولی، ابتدا ساختارهای مولکولی به کمک نرم افزار هایپرکم رسم شدند. سپس ساختارهای مولکولی به وسیله الگوریتم AM1 بهینه گردیدند. سپس توصیف کننده‌ها به وسیله نرم افزار دراگون محاسبه شدند. این نرم افزار برای محاسبه هیجده دسته از توصیف کننده‌های مولکولی مورد استفاده قرار می‌گیرد. برای این منظور خروجی نرم افزار هایپرکم برای هر ترکیب به برنامه دراگون منتقل شده و توصیف کننده‌ها محاسبه می‌شوند. به این ترتیب تعداد ۱۴۸۱ توصیف کننده مولکولی برای هر ترکیب محاسبه شد. توضیح دقیق و کامل توصیف کننده‌ها در منابع علمی ذکر گردیده است [۱۰-۱۵].

### ۳. نتایج و بحث

۱-۳. مدل‌سازی با روش رگرسیون خطی چندگانه برای ساختن مدلی که بیانگر ارتباط ساختاری ترکیبات مورد بررسی با اندیس کواتس آنها باشد، از روش رگرسیون خطی چندگانه (MLR) استفاده شد. همانطور که می‌دانیم تعداد زیاد توصیف کننده‌ها باعث پیچیدگی محاسبات شده و همچنین احتمال وجود فاکتورهایی دارای برهمکش با هم را افزایش می‌دهد. لذا

ترکیبات استخراج شده از این گیاه جهت درمان رماتیسم و سیاتیک به کار گرفته شده است[۴]. بنابراین اندازه گیری و شناسایی این ترکیبات در عرصه پژوهشی بسیار حائز اهمیت است. روش کروماتوگرافی گازی و کروماتوگرافی گازی جفت شده با اسپکتروسکوپی جرمی از روش‌های اساسی برای اندازه گیری ترکیبات روغن‌های انسانی گیاهان هستند. روش اسپکتروسکوپی جرمی همیشه نمی‌تواند اطلاعات کافی در مورد ساختار ترکیبات ارائه دهد. همچنین استفاده از این روش‌ها بسیار پرهزینه و وقت گیر است. بنابراین استفاده از یک روش پیشگویی کننده خاصیت این ترکیبات بدون نیاز به روش‌های پرهزینه ضروری به نظر می‌رسد. به همین خاطر روش ارتباط کمی ساختار- ویژگی (QSPR) برای این منظور مورد استفاده قرار گرفت. پیش‌بینی شاخص بازداری برای برخی از ترکیبات آلی در منابع علمی گزارش شده است[۵-۹].

هدف از این کار عبارتست از ارایه یک مدل مناسب جهت پیش‌بینی شاخص بازداری روغن‌های انسانی گیاه جانپروس تاریفرا که بتوان توسط این مدل، شاخص‌های بازداری ترکیبات مشابه را بدون انجام آزمایشات وقت گیر و پرهزینه، پیش‌بینی نمود.

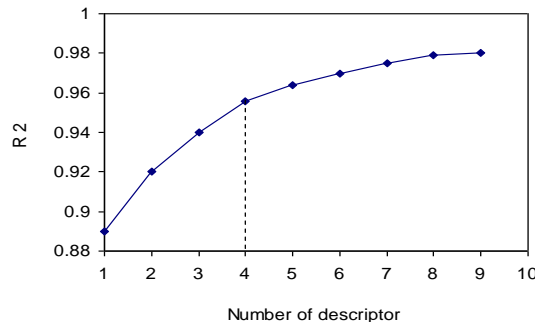
### ۲. بخش تجربی

#### ۲-۱. دستگاه‌های مورد استفاده

یک کامپیوتر پنتیوم IV ( $CPU = 3.06 \text{ GHz}$ ) با ویندوز XP برای انجام کارهای محاسباتی مورد استفاده قرار گرفت. برای رسم و بهینه کردن شکل مولکولها از نرم افزار هایپرکم (hyperchem) (نسخه ۷/۰) استفاده گردید. برای محاسبه توصیف کننده‌های مولکولی از نرم افزار دراگون (Dragon) (نسخه ۲/۱) استفاده شد. از نرم افزار SPSS برای انتخاب بهترین توصیف کننده‌ها و از نرم افزار MATLAB برای به دست آوردن سایر پارامترهای آماری استفاده گردید.

#### ۲-۲. سری داده‌ها

سری داده‌ها مربوط به اندیس کواتس ۷۹ ترکیب از روغن‌های

نمودار ۱- تأثیر تعداد توصیف کننده‌ها بر مقدار  $R^2$ .

فهرست توصیف کننده‌های انتخاب شده توسط نرم افزار SPSS به همراه توصیف مختصری از آنها در (جدول-۲) آورده شده است.

جدول ۳- ماتریس ضرایب همبستگی توصیف کننده‌های انتخاب شده.

|        | MW     | MATS2e | G2v    | Mor29p |
|--------|--------|--------|--------|--------|
| MW     | 1      |        |        |        |
| MATS2e | -0.298 | 1      |        |        |
| G2v    | -0.787 | -0.176 | 1      |        |
| Mor29p | -0.475 | -0.204 | -0.440 | 1      |

پس از انتخاب مناسب ترین توصیف کننده‌ها توسط روش مرحله‌ای با استفاده از SPSS، مرحله بعد، ایجاد مدل بین توصیف کننده‌های انتخاب شده و اندیس کواترسن ترکیبات است. از نرم افزار SPSS برای این منظور استفاده گردید و بین توصیف کننده‌ها و شاخص بازداری ترکیبات سری آموزش با استفاده از روش MLR رابطه زیر به دست آمد:

تعدادی از این توصیف کننده‌ها که دارای ۹۰٪ مقادیر یکسان بودند حذف شدند. همچنین از بین توصیف کننده‌هایی که دارای همبستگی بیش از ۹۰٪ بودند توصیف کننده‌ای که دارای همبستگی کمتری با متغیر وابسته بود، از سری داده‌ها حذف شد. سپس توصیف کننده‌های باقی مانده (۲۹۹ توصیف کننده)، به عنوان متغیرهای مستقل و مقادیر اندیس کواترسن مولکول‌های مورد نظر به عنوان متغیرهای وابسته، به عنوان ورودی به نرم افزار SPSS وارد شد. در نهایت با استفاده از منوی آنالیز، گزینه‌ی رگرسیون خطی و روش مرحله‌ای انتخاب و نهایتاً چندین مدل مختلف به طور جداگانه به دست آمد، که با توجه به خصوصیات آماری آن‌ها از جمله ضریب رگرسیون ( $R$ )، آماره  $F$  و خطای استاندارد و پس از رسم مقادیر  $R$  و  $SE$  بر حسب تعداد توصیف کننده‌ها بهترین مدل که دارای بیشترین مقدار  $R$  و  $F$  و کمترین مقدار خطای استاندارد و شامل توصیف کننده‌های تا حد امکان قابل توجیه باشد، به عنوان مدل نهایی برای ارتباط اندیس کواترسن مولکول‌ها با ساختار آن‌ها انتخاب شد. با این روش مدل چهارم با تعداد ۴ توصیف کننده به عنوان مناسب ترین آنها انتخاب شده و توسط روش‌های MLR مدل سازی شده و مورد ارزیابی قرار گرفت. (نمودار-۱) تأثیر تعداد توصیف کننده‌ها را بر مقدار  $R^2$  نشان می‌دهد. همانطور که ملاحظه می‌شود، تغییرات  $R^2$  بعد از ۴ توصیف کننده خیلی کم است. بنابراین ۴ توصیف کننده به عنوان تعداد بهینه توصیف کننده‌ها انتخاب گردید.

جدول ۲- توصیف کننده‌های انتخاب شده با SPSS و توصیف آنها.

| توصیف کننده   | نوع توصیف کننده            | علامت  | ضریب    |
|---|----------------------------|--------|---------|
| Molecular weight  | Constitutional descriptors | MW     | ۷/۸۹    |
| Moran autocorrelation-lag 2/ weighted by atomic Sanderson electronegativities | 2D autocorrelations        | MATS2e | -۶۳۴/۱۰ |
| weighted by atomic van der Waals volumes                                      | WHIM descriptors           | G2v    | ۳۸۱۲/۲۷ |
| 3D-MoRSE-signal 29 / weighted by atomic polarizabilities                      | 3D-MoRSE descriptors       | Mor29p | ۲۳۰/۴۶  |
| Constant  |                            |        | -۶۴۷/۳۶ |

(جدول-۱) آورده شده است. (شکل-۱) مقادیر باقیمانده خطاهای را نسبت به مقادیر تجربی نشان می‌دهد. میزان پراکندگی خطاهای در اطراف محور نشان دهنده این است که خطای سیستماتیک در مدل وجود ندارد. همچنین در (شکل-۲) میزان نزدیکی داده‌ها به خط راست قدرت پیشگویی مدل را نشان می‌دهد.

$$\text{RI} = -647.36 + 7.89 \text{ MW}-634.10 \text{ MATS2e} + 3812.27 \text{ G2v} \\ + 230.46 \text{ Mor29p}$$

سپس از معادله به دست آمده برای پیش‌بینی شاخص بازداری سری پیش‌بینی استفاده گردید.

مقادیر واقعی و پیش‌بینی شده شاخص بازداری و همچنین درصد خطاهای برای کلیه ترکیبات مجموعه آموزش و پیش‌بینی در

جدول ۱- مقادیر تجربی و محاسبه شده شاخص بازداری برای ترکیبات مختلف برای آموزشی و پیش‌بینی در مدل SW-MLR همراه با مقادیر خطای نسبی.

| No.          | Compound                         | RI (Exp) <sup>a</sup> | RI (SW-MLR) <sup>b</sup> | E (%) <sup>c</sup> |
|--------------|----------------------------------|-----------------------|--------------------------|--------------------|
| Training set |                                  |                       |                          |                    |
| ۱            | Tricyclene                       | ۹۲۶                   | ۱۰۰۴/۸                   | ۸/۵۱               |
| ۲            | $\alpha$ -thujene                | ۹۳۱                   | ۹۷۰/۷۳                   | ۴/۲۶               |
| ۳            | $\alpha$ -fenchene               | ۹۵۳                   | ۹۷۱/۲                    | ۱/۹۰               |
| ۴            | Camphepane                       | ۹۵۳                   | ۹۲۸/۱۴                   | -۲/۶۰              |
| ۵            | $\beta$ -pinene                  | ۹۸۰                   | ۱۰۰۰/۳                   | ۲/۰۷               |
| ۶            | Myrcene                          | ۹۹۱                   | ۱۰۶۳/۴                   | ۷/۳۰               |
| ۷            | $\alpha$ -phellandrene           | ۱۰۰۵                  | ۱۰۳۸/۱                   | ۳/۲۸               |
| ۸            | $\delta$ -3-carene               | ۱۰۱۱                  | ۹۵۷/۸۴                   | -۵/۲۵              |
| ۹            | p-cymene                         | ۱۰۲۶                  | ۱۰۱۵/۶                   | -۱/۰۱              |
| ۱۰           | Limonene                         | ۱۰۳۱                  | ۱۰۵۷/۴                   | ۲/۵۵               |
| ۱۱           | (Z)- $\beta$ -ocimene            | ۱۰۳۷                  | ۱۰۴۱/۲                   | ۰/۴۰               |
| ۱۲           | (E)- $\beta$ -ocimene            | ۱۰۵۰                  | ۱۰۴۱/۲                   | -۰/۸۴              |
| ۱۳           | cis-sabinene hydrate             | ۱۰۶۸                  | ۹۹۶/۷۵                   | -۶/۶۷              |
| ۱۴           | Terpinolene                      | ۱۰۸۸                  | ۱۰۸۸/۳                   | ۰/۰۲               |
| ۱۵           | Linalool                         | ۱۰۹۸                  | ۱۱۲۹/۹                   | ۲/۹۰               |
| ۱۶           | cis-thujone (= $\beta$ -thujone) | ۱۱۰۲                  | ۱۱۳۸/۳                   | ۳/۲۹               |
| ۱۷           | cis-p-menth-2-en-1-ol            | ۱۱۲۱                  | ۱۲۱۱/۶                   | ۸/۰۸               |
| ۱۸           | trans-pinocarveol                | ۱۱۳۹                  | ۱۱۰۲/۶                   | -۳/۱۹              |
| ۱۹           | Camphor                          | ۱۱۴۳                  | ۱۰۸۹/۷                   | -۴/۶۶              |
| ۲۰           | E-tagetone                       | ۱۱۴۴                  | ۱۱۴۶/۷                   | ۰/۲۳               |
| ۲۱           | borneol                          | ۱۱۶۵                  | ۱۱۳۴                     | -۲/۶۶              |
| ۲۲           | umbellulone                      | ۱۱۷۱                  | ۱۲۲۲/۸                   | ۴/۴۲               |
| ۲۳           | p-cymen-8-ol                     | ۱۱۸۳                  | ۱۱۶۶/۷                   | -۱/۳۸              |
| ۲۴           | $\alpha$ -terpineol              | ۱۱۸۹                  | ۱۱۱۵/۸                   | -۶/۱۵              |
| ۲۵           | 4Z-decenal                       | ۱۱۹۳                  | ۱۲۳۰/۶                   | ۳/۱۴               |
| ۲۶           | trans-piperitol                  | ۱۲۰۵                  | ۱۱۸۳/۱                   | -۱/۸۱              |
| ۲۷           | citronellol                      | ۱۲۲۸                  | ۱۲۲۹/۷                   | ۰/۱۳               |
| ۲۸           | piperitone                       | ۱۲۵۲                  | ۱۱۴۷                     | -۸/۳۸              |

۱۵۱ جدول .۱

| No.          | Compound                  | RI (Exp) <sup>a</sup> | RI (SW-MLR) <sup>b</sup> | E (%) <sup>c</sup> |
|--------------|---------------------------|-----------------------|--------------------------|--------------------|
| Training set |                           |                       |                          |                    |
| ۲۹           | linalyl acetate           | ۱۲۵۷                  | ۱۲۷۲/۴                   | ۱/۲۲               |
| ۳۰           | p-menth-2-ene-1,4-diol    | ۱۲۶۹                  | ۱۲۹۱/۹                   | ۱/۸۰               |
| ۳۱           | bornyl acetate            | ۱۲۸۵                  | ۱۳۶۲/۲                   | ۶/۰۰               |
| ۳۲           | terpinen-4-ol acetate     | ۱۳۰۰                  | ۱۲۱۹/۴                   | -۶/۲۰              |
| ۳۳           | δ-elemene                 | ۱۳۳۹                  | ۱۴۲۲/۲                   | ۶/۲۱               |
| ۳۴           | α-terpinyl acetate        | ۱۳۵۰                  | ۱۳۲۳/۴                   | -۱/۹۷              |
| ۳۵           | α-copaene                 | ۱۳۷۶                  | ۱۴۶۲/۶                   | ۶/۲۹               |
| ۳۶           | β -bourbonene             | ۱۳۸۳                  | ۱۴۵۳/۸                   | ۵/۱۱               |
| ۳۷           | β-funebrene               | ۱۴۱۵                  | ۱۳۳۵/۷                   | -۵/۶۰              |
| ۳۸           | (E)-caryophyllene         | ۱۴۱۸                  | ۱۵۰۳/۹                   | ۶/۰۵               |
| ۳۹           | γ-muurolene               | ۱۴۷۷                  | ۱۴۹۷/۵                   | ۱/۳۸               |
| ۴۰           | germacrene D              | ۱۴۸۰                  | ۱۵۲۲/۴                   | ۲/۸۶               |
| ۴۱           | γ-cadinene                | ۱۵۱۳                  | ۱۵۰۶                     | -۰/۴۶              |
| ۴۲           | δ-cadinene                | ۱۵۲۴                  | ۱۴۵۷/۹                   | -۴/۳۳              |
| ۴۳           | elemol                    | ۱۵۴۹                  | ۱۵۸۹                     | ۲/۵۸               |
| ۴۴           | germacrene D-4-ol         | ۱۵۵۶                  | ۱۵۳۵/۶                   | -۱/۳۱              |
| ۴۵           | caryophyllene oxide       | ۱۵۸۱                  | ۱۶۲۸/۱                   | ۲/۹۷               |
| ۴۶           | cedrol                    | ۱۵۹۶                  | ۱۵۵۵/۶                   | -۲/۵۲              |
| ۴۷           | epi-cedrol                | ۱۶۱۱                  | ۱۵۵۵/۶                   | -۳/۴۳              |
| ۴۸           | 1-epi-cubenol             | ۱۶۲۷                  | ۱۵۹۳/۴                   | -۲/۰۶              |
| ۴۹           | epi- α -cadinol           | ۱۶۴۰                  | ۱۶۰۴/۵                   | -۲/۱۶              |
| ۵۰           | epi- α -muurolol          | ۱۶۴۰                  | ۱۶۱۱                     | -۱/۷۷              |
| ۵۱           | β-eudesmol                | ۱۶۴۹                  | ۱۵۰۴/۹                   | -۸/۷۳              |
| ۵۲           | α-eudesmol                | ۱۶۵۲                  | ۱۶۶۴                     | ۰/۷۲               |
| ۵۳           | oplopenone                | ۱۷۳۳                  | ۱۶۹۹/۷                   | -۱/۹۲              |
| ۵۴           | manoyl oxide              | ۱۹۸۹                  | ۱۹۹۶/۲                   | ۰/۳۶               |
| Test set     |                           |                       |                          |                    |
| ۱            | α -pinene                 | ۹۳۹                   | ۹۲۵/۲۹                   | -۱/۴۵              |
| ۲            | sabinene                  | ۹۷۶                   | ۹۷۶/۰۵                   | ۰/۰۰               |
| ۳            | δ-2-carene                | ۱۰۰۱                  | ۹۶۱/۰۵                   | -۳/۹۹              |
| ۴            | α-terpinene               | ۱۰۱۸                  | ۱۱۰۲/۱                   | ۸/۲۶               |
| ۵            | β-phellandrene            | ۱۰۳۱                  | ۱۰۵۵/۹                   | ۲/۴۱               |
| ۶            | γ-terpinene               | ۱۰۶۲                  | ۱۰۴۲/۵                   | -۱/۸۳              |
| ۷            | trans-sabinene hydrate    | ۱۰۹۷                  | ۱۱۱۹/۳                   | ۲/۰۳               |
| ۸            | trans-thujone(=α-thujone) | ۱۱۱۴                  | ۱۱۳۸/۳                   | ۲/۱۸               |
| ۹            | trans-p-menth-2-en-1-ol   | ۱۱۴۰                  | ۱۲۱۱/۶                   | ۶/۲۷               |

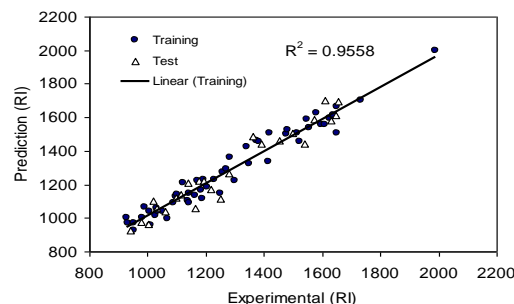
جدول ۱.

| No.      | Compound               | RI (Exp) <sup>a</sup> | RI (SW-MLR) <sup>b</sup> | E (%) <sup>c</sup> |
|----------|------------------------|-----------------------|--------------------------|--------------------|
| Test set |                        |                       |                          |                    |
| ۱۰       | pinocarvone            | ۱۱۶۳                  | ۱۰۶۱/۴                   | -۸/۷۴              |
| ۱۱       | terpinen-4-ol          | ۱۱۷۷                  | ۱۲۱۹/۴                   | ۳/۵۹               |
| ۱۲       | myrtenol               | ۱۱۹۱                  | ۱۲۲۰/۹                   | ۲/۵۱               |
| ۱۳       | trans-carveol          | ۱۲۱۷                  | ۱۱۷۴/۱                   | -۳/۵۲              |
| ۱۴       | trans-sabinene hydrate | ۱۲۵۲                  | ۱۱۱۳/۳                   | -۱۱/۰۷             |
| ۱۵       | pregeijerene B         | ۱۲۷۷                  | ۱۲۶۶/۷                   | -۰/۸۰              |
| ۱۶       | muurol acetate         | ۱۳۶۲                  | ۱۴۸۶/۴                   | ۹/۱۳               |
| ۱۷       | $\beta$ -elemene       | ۱۳۹۱                  | ۱۴۴۴/۴                   | ۳/۸۳               |
| ۱۸       | $\alpha$ -humulene     | ۱۴۵۴                  | ۱۴۶۱/۶                   | ۰/۵۱               |
| ۱۹       | $\alpha$ -muurolene    | ۱۴۹۹                  | ۱۵۰۶/۵                   | ۰/۴۹               |
| ۲۰       | $\alpha$ -cadinene     | ۱۵۳۸                  | ۱۴۴۰/۲                   | -۶/۳۶              |
| ۲۱       | germacrene D-4-ol      | ۱۵۷۴                  | ۱۵۹۰/۷                   | ۱/۰۶               |
| ۲۲       | $\beta$ -oplopenone    | ۱۶۰۸                  | ۱۶۹۹/۷                   | ۵/۶۹               |
| ۲۳       | $\gamma$ -eudesmol     | ۱۶۳۰                  | ۱۵۸۲/۵                   | -۲/۹۱              |
| ۲۴       | $\alpha$ -muurolol     | ۱۶۴۵                  | ۱۶۱۱                     | -۲/۰۶              |
| ۲۵       | $\alpha$ -cadinol      | ۱۶۵۳                  | ۱۶۹۵/۲                   | ۲/۵۵               |

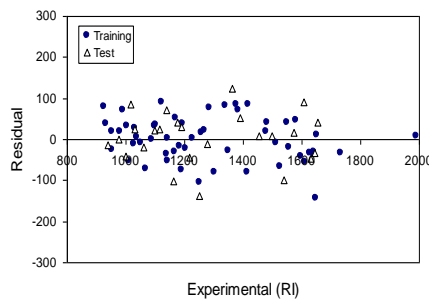
a) مقادیر تجربی شاخص بازداری، b) شاخص بازداری محاسبه شده توسط رگرسیون خطی چند گانه، c) خطای نسبی

#### ۴. نتیجه گیری

ارتباط کمی بین ویژگی و ساختار ترکیباتی از روغن های ضروری با استفاده از روش انتخاب متغیر به صورت مرحله ای- رگرسیون خطی چند گانه(SW-MLR) جهت پیش بینی شاخص بازداری (اندیس کواتس) مورد مطالعه قرار گرفت. مجموعه داده ها شامل شاخص بازداری ۷۹ ترکیب از مولکولهای روغنهای ضروری بود. سپس توصیف کننده های مولکولی محاسبه شده و توصیف کننده های مهم با استفاده از روش مرحله ای انتخاب شدند. پیشگویی کمی با مدل QSPR برای ۲۵ ترکیب از ۷۹ ترکیب که به صورت تصادفی انتخاب شده بودند مورد ارزیابی قرار گرفت. مدل-MLR با ۴ توصیف کننده انتخاب شده ساخته شد. پارامترهای آماری نشان می دهد که مدل SW-MLR توانایی پیش بینی شاخص بازداری مولکولها را با قدرت و توانایی بالا دارد.



شکل ۱- نمودار مقادیر شاخص بازداری محاسبه شده با سmek مدل SW-MLR برای مجموعه های آموزشی و پیش بینی بر حسب مقادیر تجربی.



شکل ۲- نمودار تغییرات خطای برای مقادیر شاخص بازداری محاسبه شده با سmek مدل SW-MLR برای مجموعه های آموزشی و پیش بینی.

## ۵. مراجع:

- [8] P. Tulasamma and K.S. Reddy, *J. Mol. Graph. Model.*, 25 (2006) 507.
- [9] T.H.K. Kowalska, *Chemometr. Intell. Lab. Syst.*, 47 (1999) 205.
- [10] R. Todeschini and V. Consonni, *Handbook of molecular descriptors*, Wiley-VCH, Weinheim (2000).
- [11] L.B. Kier and L.H. Hall, *Molecular Connectivity in Structure-Activity Analysis*, RSP-Wiley, Chichester, UK (1986).
- [12] E.V. Konstantinova, *J. Chem. Inf. Comp. Sci.*, 36 (1997) 54.
- [13] G. Rucker and C. Rucker, *J. Chem. Inf. Comp. Sci.*, 33 (1993) 683.
- [14] J. Galvez, R. Garcia, M.T. Salabert and R. Soler, *J. Chem. Inf. Comp. Sci.*, 34 (1994) 520.
- [15] P. Broto, G. Moreau and C. Vandicke, *J. Med. Chem.*, 19 (1984) 66.
- [1] S. Kusmenoglu, K.H.C. Baser and T. Oze, *J. Essen. Oil Res.*, 7 (1995) 441.
- [2] T. Dimo, S.V. Rakotonirina, P.V. Tan, J. Azay, E. Dongo and G. Cros, *J. Ethnopharmacol.*, 83 (2002) 183.
- [3] T. Rabe and J.V. Staden, *J. Ethnopharmacol.*, 56 (1997) 81.
- [4] N. Achak, A. Roman, M.A. Friqui and R.P. Adams, *J. Essen. Oil Res.*, 20 (2008) 200.
- [5] M. Jalali-Heravi and M.H. Fatemi, *J. Chromatogr. A*, 915 (2001) 177.
- [6] Z. Garakani-Nejad, M. Karlovits, W. Demuth, T. Stimpfl, W. Vycudilik, M. Jalali-Heravi and K. Varmuza, *J. Chrom. A.*, 1028 (2004) 287.
- [7] J. Acevedo-Martinez, J.C. Escalona-Arranz, A. Villar-Rojas, F. Tellez-Palmero, R. Perez-Roses, L. Gonzalez and R. Carrasco-Velar, *J. Chrom. A.*, 1102 (2006) 238.

